

Lesson 02

Ing. Marek Hrúz Ph.D.

Univ. of West Bohemia, Faculty of Applied Sciences, Dept. of Cybernetics

30. září 2016



Mean-shift

Úvod

Definice

Modely

Optimalizace

Příklad - segmentace obrazu

Kriteriální funkce

Princip konstrukce a řezu grafu

Implementace

Aplikace metody graph-cut

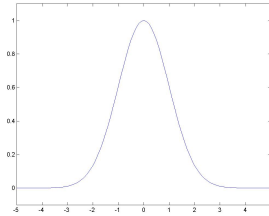
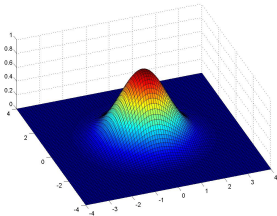


- ▶ a method for non-parametric probability density estimation
- ▶ a single parameter - size and shape of the kernel

$$K(x) = ck(\|x\|^2) \quad (1)$$

- ▶ symmetrical kernels are used
- ▶ normal kernel

$$K_N(x) = c \exp\left(-\frac{1}{2}\|x\|^2\right) \quad (2)$$

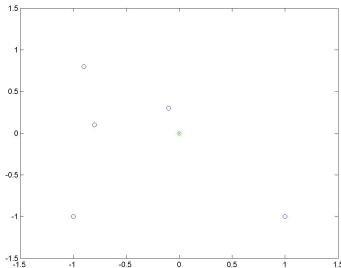


Obrázek: Normal kernel and its profile (without normalization)



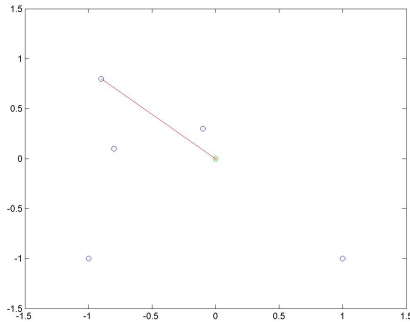
- ▶ we have n vectors x_i in d -dimensional space \mathcal{R}^d
- ▶ the multidimensional estimator of kernel density is defined as

$$\tilde{f}_{h,K}(x) = \frac{1}{nh^d} \sum_{i=1}^n K\left(\frac{x - x_i}{h}\right), \quad (3)$$



Obrázek: Set of points from a distribution

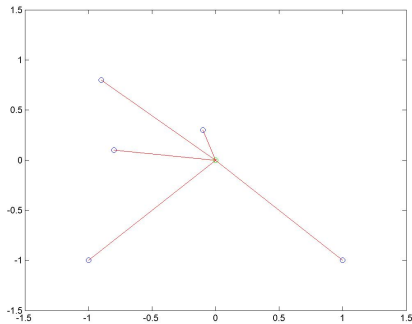




Obrázek: First point to compute

$$\tilde{f}_{h,K}^1(x) = \frac{c}{nh^d} \exp\left(-\frac{1}{2} \left\| \frac{x - x_1}{h} \right\|^2\right), \quad (4)$$



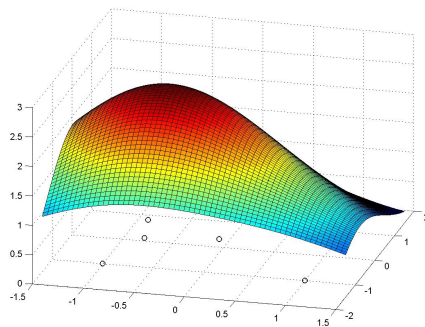


Obrázek: The rest of the points to compute

$$\tilde{f}_{h,K}(x) = \frac{1}{nh^d} \sum_{i=1}^n K\left(\frac{x - x_i}{h}\right), \quad (5)$$



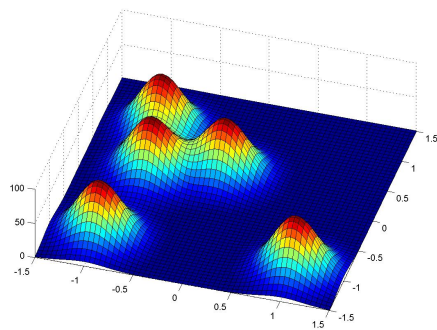
- ▶ for all the xs we obtain



Obrázek: Estimated density for $h = 1$



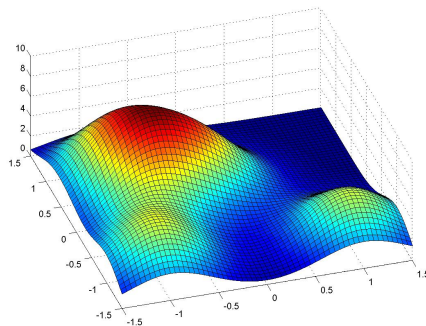
- ▶ for all the xs we obtain



Obrázek: Estimated density for $h = 0.05$



- ▶ for all the xs we obtain



Obrázek: Estimated density for $h = 0.3$



- ▶ we want to estimate the modes (peaks) of the distribution
- ▶ those are local extrema
- ▶ points x where $\nabla \tilde{f}_{h,K}(x) = 0$

$$\nabla \tilde{f}_{h,K}(x) = \frac{1}{nh^d} \sum_{i=1}^n \nabla K \left(\frac{x - x_i}{h} \right), \quad (6)$$

- ▶ this will enable clustering of unknown points
- ▶ we need to compute ∇K
- ▶ $K = c \exp(-\frac{1}{2}\|x\|^2)$
- ▶ profile $k = \exp(-\frac{1}{2}x)$

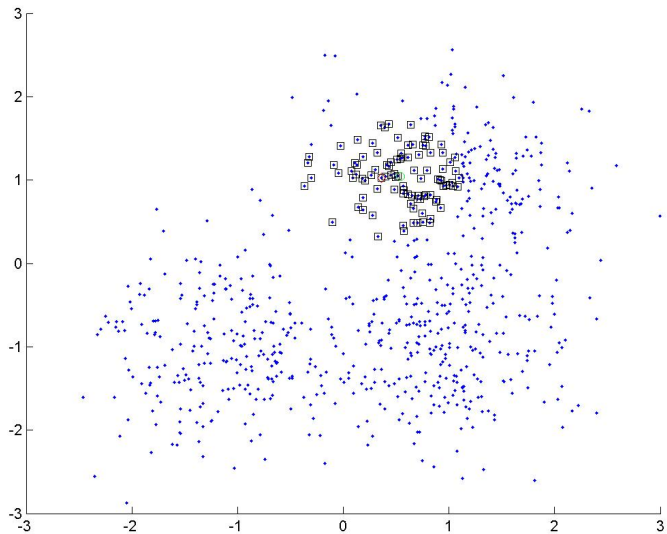
$$\nabla K = G = -x \exp \left(-\frac{1}{2}x^2 \right) \quad (7)$$



$$\begin{aligned}
 \nabla \tilde{f}_{h,K}(x) &= \frac{1}{nh^d} \sum_{i=1}^n \left[ck \left(\left\| \frac{x-x_i}{h} \right\|^2 \right) \right]' \\
 &= \frac{1}{nh^d} \sum_{i=1}^n \frac{2c}{h^2} (x - x_i) k' \left(\left\| \frac{x-x_i}{h} \right\|^2 \right) \\
 &= \frac{2c}{nh^{d+2}} \sum_{i=1}^n (x - x_i) k' \left(\left\| \frac{x-x_i}{h} \right\|^2 \right) \\
 &= \frac{2c}{nh^{d+2}} \left(\sum_{i=1}^n k_i \right) \left(\frac{\sum_{i=1}^n x_i k_i}{\sum_{i=1}^n k_i} - x \right),
 \end{aligned} \tag{8}$$

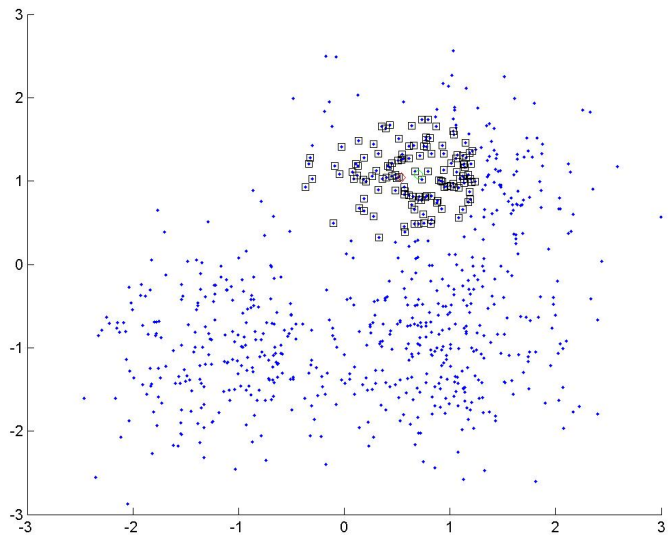
- ▶ $k_i = -k'$
- ▶ this estimator estimates the gradient of the density function
- ▶ where it equals zero, there is a peak
- ▶ we will utilize this for clustering
- ▶ $\tilde{f}_{h,K'}(x) = \frac{2c}{nh^{d+2}} \sum_{i=1}^n k_i \left(\left\| \frac{x-x_i}{h} \right\|^2 \right)$ is estimator
- ▶ $m_{h,K'}(x) = \frac{\sum_{i=1}^n x_i k_i}{\sum_{i=1}^n k_i} - x$ is mean-shift





Obrázek: Mean shift iteration

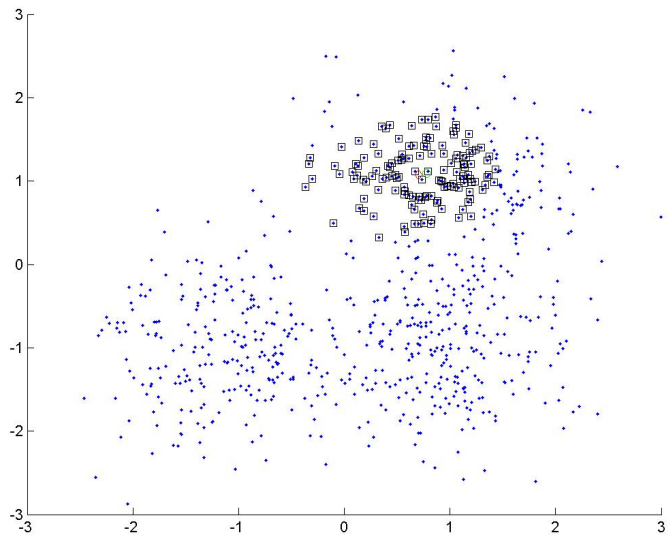




Obrázek: Mean shift iteration

DEPARTMENT OF
CYBERNETICS

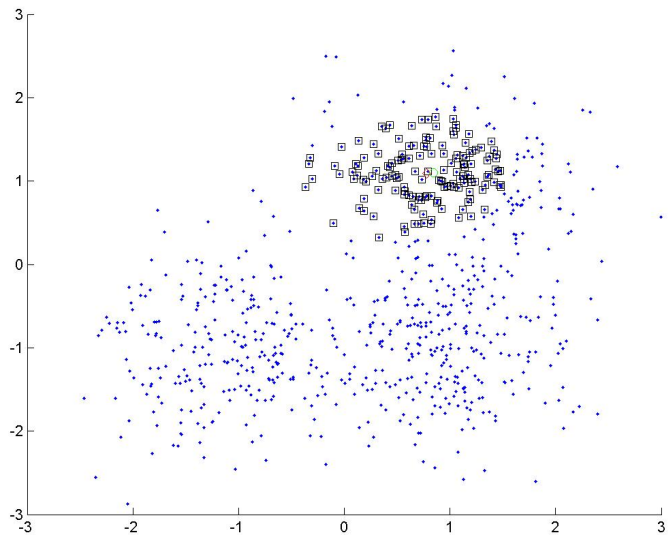




Obrázek: Mean shift iteration

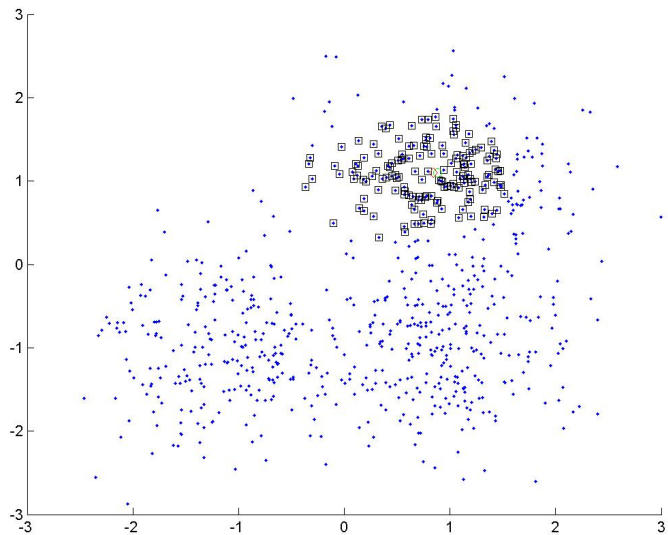
DEPARTMENT OF
CYBERNETICS





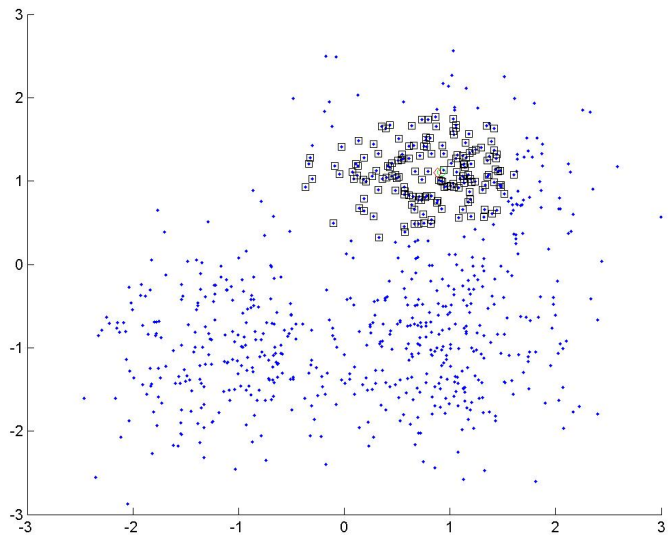
Obrázek: Mean shift iteration





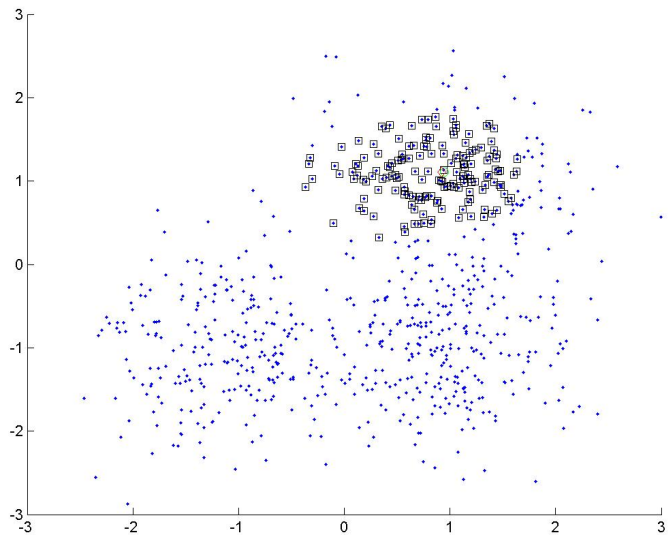
Obrázek: Mean shift iteration





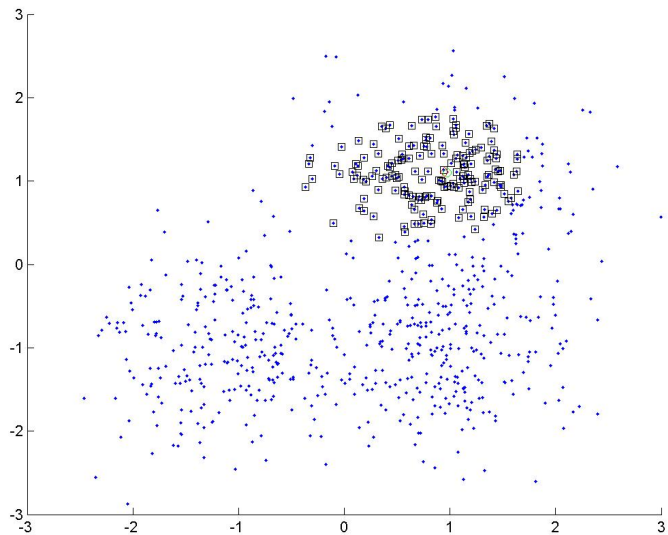
Obrázek: Mean shift iteration





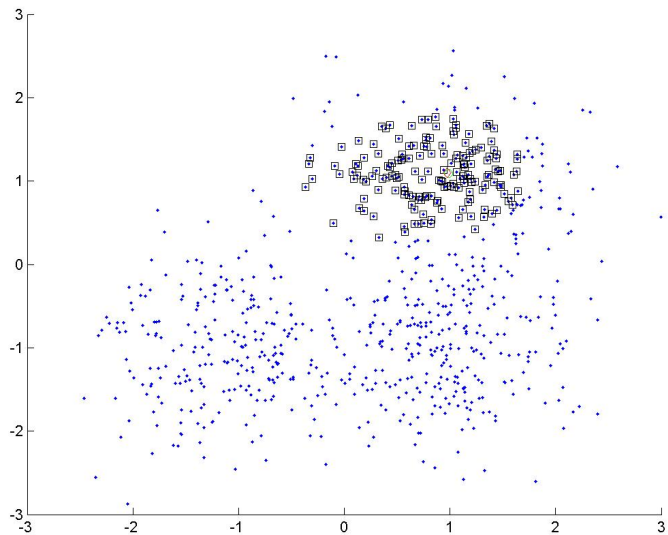
Obrázek: Mean shift iteration





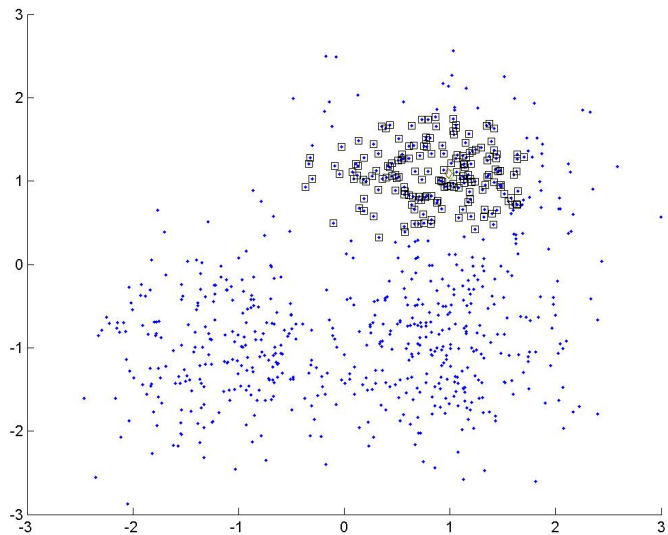
Obrázek: Mean shift iteration





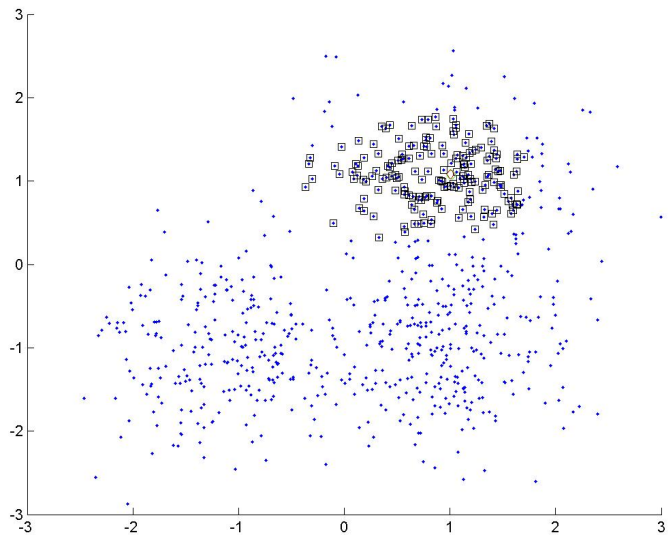
Obrázek: Mean shift iteration





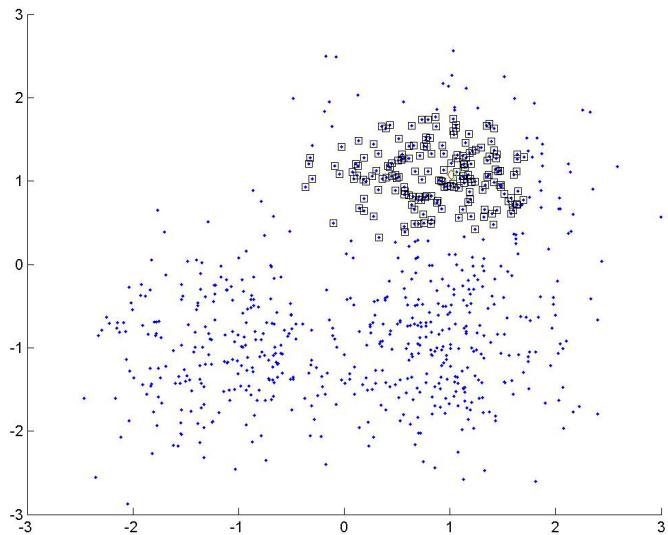
Obrázek: Mean shift iteration





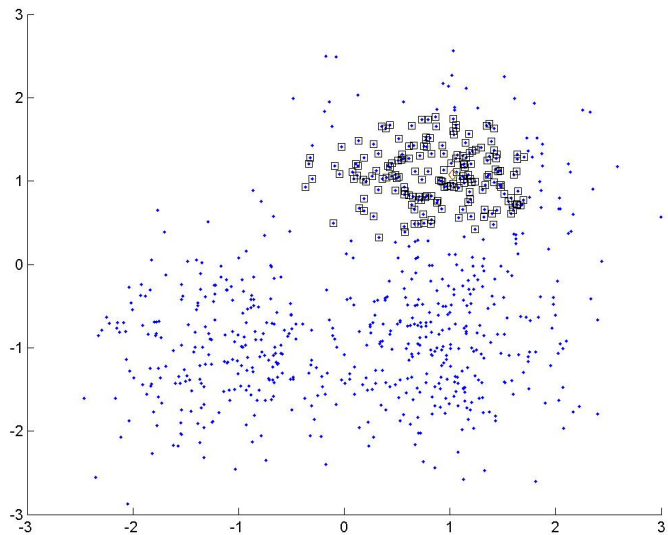
Obrázek: Mean shift iteration





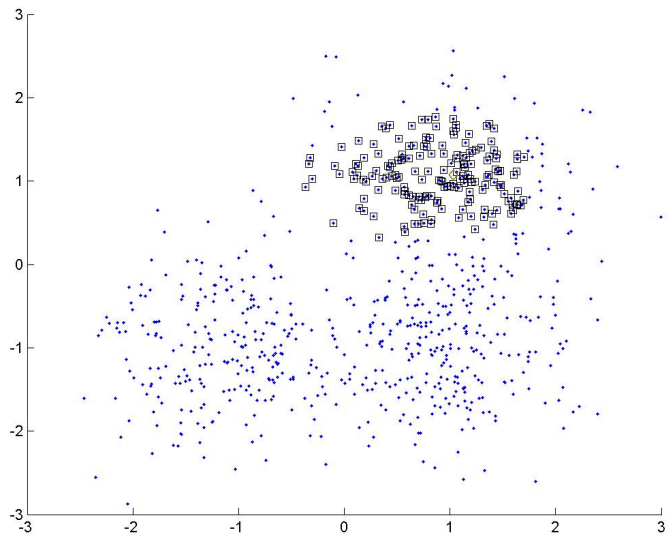
Obrázek: Mean shift iteration





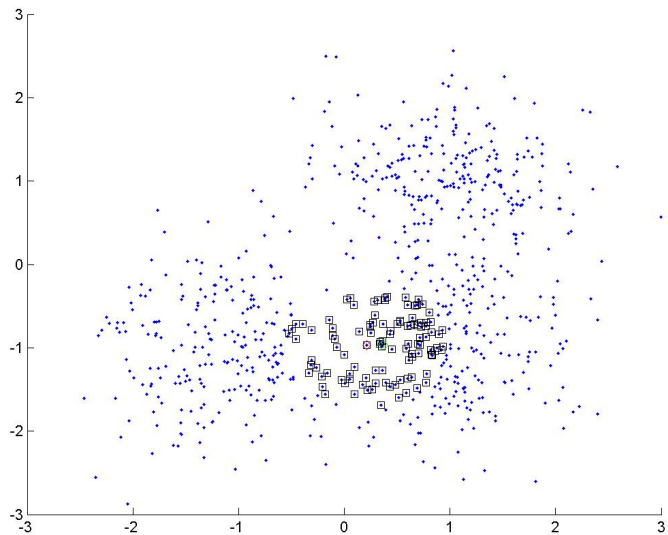
Obrázek: Mean shift iteration





Obrázek: Mean shift iteration

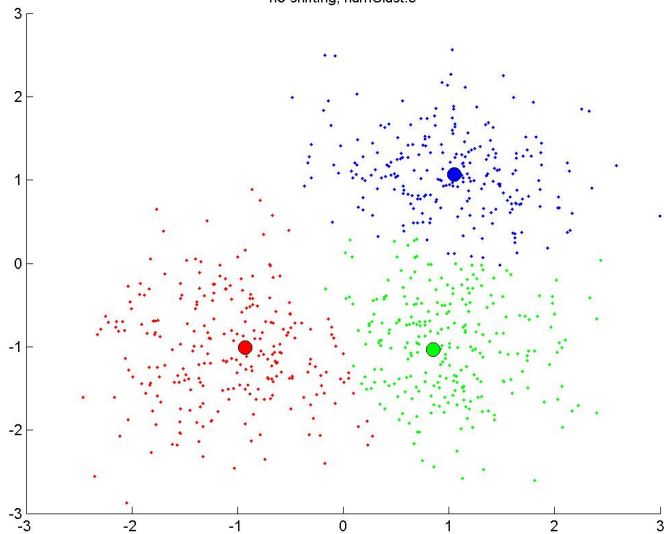




Obrázek: Mean shift iteration



no shifting, numClust:3



Obrázek: Mean shift iteration

DEPARTMENT OF
CYBERNETICS



MRF - motivace

- ▶ svět kolem nás je „hladký“ - změny většinou nepřichází naráz ale pozvolna
 - ▶ změny počasí
 - ▶ změny terénu
- ▶ příklad z oblasti zpracování obrazu:
 - ▶ pokud určitý pixel patří jednomu objektu, je pravděpodobné, že sousední pixely budou patřit témuž objektu
 - ▶ pokud se objekt v jednom framu videa vyskytuje na pozici (x, y) , bude se i v následujícím framu vyskytovat blízko této pozice
- ▶ **kontext** = souvislost sousedních bodů, tj. význam bodu je závislý na významech bodů sousedních
- ▶ využití kontextu je velmi cenné pro analýzu obrazu
- ▶ nástroj pro využití kontextu - **podmíněné pravděpodobnosti**



Problém přiřazení labelů

- ▶ extrakce příznaků z obrazu
 - ▶ každý pixel p je definován příznakovým vektorem \vec{f}_p
 - ▶ množina všech příznakových vektorů ... $f = \{\vec{f}_p : p \in \mathcal{I}\}$
- ▶ množina labelů \mathcal{L}
 - ▶ label určitým způsobem klasifikuje pixel, kterému je přidělen
 - ▶ např.
 $\mathcal{L} = \{\text{hrana, „nehrana“}\} \cup \{\text{obj, bgd}\} \cup \langle\text{disparita pixelů}\rangle$
...
 - ▶ z hlediska Markovských modelů představuje label „skrytou“ proměnnou
 - ▶ každému pixelu p je přiřazen jeden label ω_p
 - ▶ **konfigurace pole** ... $\omega = \{\omega_p : p \in \mathcal{I}\}$
 - ▶ obrázek o rozměrech $N \times M \rightarrow |\mathcal{L}|^{NM} = |\Omega|$ možných výsledků
 - ▶ jak vybrat ten správný?



Pravděpodobnostní přístup

- ▶ dána pozorovaná data f (obrázek, stereo snímky, ...)
- ▶ definovat pravděpodobnostní míru (pravděpodobnost olabelování)
 - ▶ pravděpodobnost konfigurace ω je určena jako $P(\omega|f)$
- ▶ určit nejpravděpodobnější olabelování
 - ▶ chceme najít ω^* maximalizující $P(\omega|f)$

Odhad maximální aposteriorní pravděpodobnosti (MAP):

- ▶ $\omega^{*\text{MAP}} = \arg \max_{\omega \in \Omega} P(\omega|f)$
- ▶ Bayesovo pravidlo: $P(\omega|f) = \frac{P(f|\omega)P(\omega)}{P(f)}$
- ▶ pro neměnná data f je $P(f)$ konstanta \Rightarrow
 $P(\omega|f) \propto P(f|\omega)P(\omega)$
- ▶ určení $P(\omega)$ a $P(f|\omega)$ \rightarrow **MRF**



MRF - definice

- ▶ náhodné pole může být definováno jako graf $\mathcal{G} = (\mathcal{V}, \mathcal{E})$:
 - ▶ \mathcal{E} je množina hran mezi uzly: $(p, q) \in \mathcal{E} \iff q \in \mathcal{N}_p$
 - ▶ $\mathcal{V} = \{1, 2, \dots, N\}$... množina uzlů
 - ▶ každému uzlu odpovídá jedna náhodná proměnná Ω_p , která může nabývat hodnoty $\omega_p \in \mathcal{L}$
- ▶ MRF musí splňovat dvě nutné podmínky:
 1. pozitivita ... $P(\omega) > 0, \forall \omega \in \Omega$ (Ω je prostor všech možných konfigurací)
 2. Markovianita
 $\dots P(\omega_p | \{\omega_q\}_{q \in \mathcal{V} \setminus p}) = P(\omega_p | \{\omega_q\}_{q \in \mathcal{N}_p}) = P(\omega_p | \omega_{\mathcal{N}_p})$



- ▶ Markovianita popisuje tzv. **knock-on efekt**: pomocí explicitních závislostí blízkých uzel jsou implicitně popsány závislosti vzdálených uzel → obrovská motivace pro používání MRF
- ▶ Markovianita popisuje kontextuální informaci - výsledek jednoho uzlu je závislý na sousedních uzlech
- ▶ určení sdružené ppsti $P(\omega)$ je problém - naštěstí existuje Hammersley-Cliffordův teorém



Hammersley-Cliffordův teorém

- ▶ definuje ekvivalenci mezi MRF a Gibbsovým rozložením
- ▶ Gibbsovo rozložení ppsti poskytuje matematické nástroje pro určení sdružené ppsti $P(\omega)$
 - ▶ $P(\omega) = \frac{1}{Z} \times e^{-\frac{1}{T} E(\omega)}$
 - ▶ $Z = \sum_{\omega \in \Omega} e^{-\frac{1}{T} E(\omega)}$... normalizační koeficient
 - ▶ T ... teplota = parametr určující špičatost rozložení
- ▶ důvodem použití Gibbsova rozložení je možnost vyjádřit energii konfigurace pole $E(\omega)$ pomocí potenciálů klik v grafu:
 - ▶ $E(\omega) = \sum_{c \in C} V_c(\omega)$
 - ▶ C ... množina všech klik¹ v grafu
- ▶ maximalizace $P(\omega) \iff$ minimalizace energie $E(\omega)$
- ▶ klasický optimalizační problém, jehož cílem je najít konfiguraci pole s minimální energií

¹pojem klika vysvětlen na následujícím slidu



Graf a jeho vlastnosti

- ▶ mějme graf $\mathcal{G}(\mathcal{V}, \mathcal{E})$
- ▶ uzel $p \in \mathcal{V}$ může reprezentovat pixel, voxel, superpixel, objekt
- ▶ Mějme množinu $c \subset \mathcal{V}$. Pokud každý uzel této množiny je sousedem zbylých uzlů této množiny, pak je tato množina nazývána **klika** grafu.
- ▶ matematicky: $c \subset \mathcal{V}$ je **klika** grafu
$$\mathcal{G} \iff \forall p, q \in c, p \neq q : p \in \mathcal{N}_q$$
- ▶ podle počtu uzlů se kliky dělí na singletony, doubletony
- ▶ systém sousednosti je definován explicitně pomocí množiny hran \mathcal{E}



Systémy sousedství a příslušné kliky:

okolí	singletony	doubletony	tripletony	quadrupletony





Energie MRF

- ▶ Gibbsovo rozložení je dáno vztahem $P(\omega) = \frac{1}{Z} \times e^{-\frac{1}{T}E(\omega)}$
- ▶ energie MRF je možné vyjádřit pomocí klik grafu:

$$\begin{aligned} E(\omega) &= \sum_{c \in \mathcal{C}} V_c(\omega) = \\ &= \sum_{\{p\} \in \mathcal{C}_1} V_1(\omega_p) + \sum_{\{p,q\} \in \mathcal{C}_2} V_2(\omega_p, \omega_q) + \dots + \\ &\quad \sum_{\{p,q,\dots\} \in \mathcal{C}_n} V_n(\omega_p, \omega_q \dots) \end{aligned}$$

- ▶ omezením se na čtyřokoli² jsou uvažovány pouze singletony a horizontální a vertikální doubletony:

$$E(\omega) = \sum_{\{p\} \in \mathcal{C}_1} V_1(\omega_p) + \sum_{\{p,q\} \in \mathcal{C}_2} V_2(\omega_p, \omega_q) =$$

$$E_{\text{data}}(\omega) + E_{\text{smoothness}}(\omega)$$

- ▶ $E_{\text{data}}(\omega)$... shoda konfigurace a dat
- ▶ $E_{\text{smoothness}}(\omega)$... zastupuje spojitost reálného světa, tzn. preferuje homogenní oblasti

²často používané kvůli efektivnosti výpočtu



Isingův model

- jedná se o binární model vzhledem k počtu labelů, tzn.

$$\mathcal{L} = \{0, 1\}$$

- $E(\omega) = \sum_{\{p\} \in \mathcal{C}_1} V_1(\omega_p) + \sum_{\{p,q\} \in \mathcal{C}_2} V_2(\omega_p, \omega_q)$

- interakční člen $V_2(\omega_p, \omega_q)$ modeluje diskontinuity v olabelování:

- $V_2(\omega_p, \omega_q) = \beta |\omega_p - \omega_q| = \beta \delta(\omega_p, \omega_q)$

- $\delta(f_p, f_q) = \begin{cases} 1 & \text{if } \omega_p \neq \omega_q \\ 0 & \text{if } \omega_p = \omega_q \end{cases} \dots \text{Kroneckerova delta}$

- parametr β definuje míru penalizace za diskontinuitu, tzn. větší β preferuje kompaktní objekty



(a) $\beta = 0.7$



(b) $\beta = 1.1$



(c) $\beta = 2$



Pottsův model

- ▶ Isingův model je velmi používaný, velkým omezením je jeho binárnost
- ▶ v úlohách s větším počtem labelů se používá Pottsův model
- ▶ množina labelů $\mathcal{L} = \{1, 2, \dots, M\}$
- ▶ $E(\omega) = \sum_{\{p\} \in \mathcal{C}_1} V_1(\omega_p) + \sum_{\{p,q\} \in \mathcal{C}_2} V_2(\omega_p, \omega_q)$
- ▶ interakční člen $V_2(\omega_p, \omega_q)$ definován následovně:
 - ▶ $V_{p,q}(\omega_p, \omega_q) = \begin{cases} \beta & \text{if } \omega_p \neq \omega_q \\ -\beta & \text{if } \omega_p = \omega_q \end{cases}$
 - ▶ parametr β má stejný význam jako u Isingova modelu = definuje míru penalizace za diskontinuitu



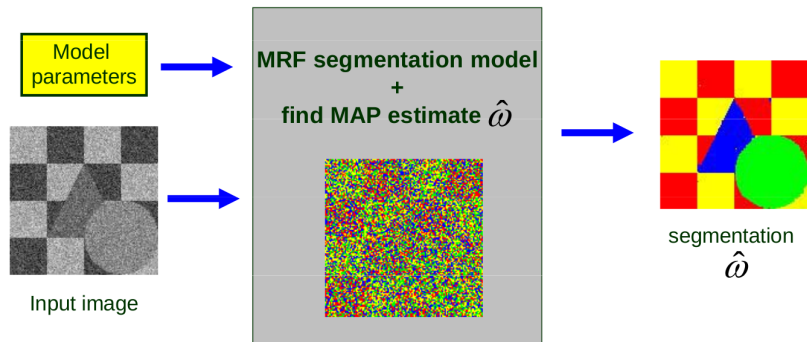
Optimalizace

- ▶ jakmile máme vybraný model a definované všechny hrany uzlu, resp. $E(\omega)_{smoothness}$ a $E(\omega)_{data}$, je třeba vybrat optimální konfiguraci pole
- ▶ celá řada optimalizačních metod:
 - ▶ gradientní metody
 - ▶ simulované žíhání
 - ▶ genetické algoritmy
 - ▶ **graph cut** - state of the art metoda, bude popsána
- ▶ některé metody jsou pouze lokálního charakteru, tzn. nutno ošetřit problém uváznutí v lokálním extrému - např. vícenásobná inicializace
- ▶ metody hledající globální extrém jsou výpočetně mnohem náročnější
- ▶ metoda graph cut³ garantuje nalezení extrému, který je nejhůře c -krát horší, než globální extrém, přičemž c je předem známo

³resp. varianty využívající tzv. *large moves*: α expansion a $\alpha - \beta$ swap



Segmentace 1/3



- ▶ neznáme: MRF segmentační model, parametry modelu



Segmentace 2/3

1. Určení MRF modelu

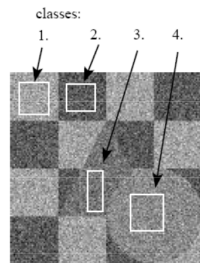
- ▶ třídy určeny pomocí Gaussova rozdělení:
$$P(f_s|\omega_s) = \frac{1}{\sqrt{2\pi}\sigma_{\omega_s}} \exp\left(-\frac{(f_s - \mu_{\omega_s})^2}{2\sigma_{\omega_s}^2}\right)$$
- ▶ potenciály klik:

- ▶ singleton: $-\log(P(f|\omega))$
- ▶ doubleton: upřednostňují stejné labely u sousedů; $V_{C_2}(j, i) = \beta\delta(\omega_i, \omega_j) =$

$$\begin{cases} -\beta, & \omega_i = \omega_j \\ \beta, & \omega_i \neq \omega_j \end{cases}$$

2. Určení parametrů modelu

- ▶ interakční potenciál β - a priori
- ▶ počet tříd $|\mathcal{L}|$ - poskytne uživatel
- ▶ každá třída λ reprezentována Gaussem $N(\mu_\lambda, \sigma_\lambda)$



Segmentace 3/3

- ▶ pravděpodobnost konfigurace ω :

$$P(\omega) = \frac{1}{Z} \exp(-E(\omega)) = \frac{1}{Z} \exp\left(-\sum_{c \in C} V_c(\omega)\right)$$

- ▶ definice energie:

$$E(\omega) = \sum_s \left(\log(\sqrt{2\pi}\sigma_{\omega_s}) + \frac{(f_s - \mu_{\omega_s})^2}{2\sigma_{\omega_s}^2} \right) + \sum_{s,r} \beta \delta(\omega_s, \omega_r)$$

- ▶ $\omega^{*\text{MAP}} = \arg \max_{\omega \in \Omega} P(\omega|f) = \arg \min_{\omega \in \Omega} E(\omega)$

- ▶ následuje optimalizace např. metodou graph cut



Kriteriální funkce

$$C(\mathbf{L}) = \lambda \cdot R(\mathbf{L}) + B(\mathbf{L})$$

- ▶ $R(\mathbf{L})$ váží oblast (region)
- ▶ $B(\mathbf{L})$ váží okraje segmentace(boundary), penalizuje samostatné pixely
- ▶ λ váží vliv oblasti a okraje na výsledné kritérium

$$R(\mathbf{L}) = \sum_{p \in P} R_p(\mathbf{L}_p)$$

$$B(\mathbf{L}) = \sum_{\{p,q\} \in N} B_{\{p,q\}} \cdot \delta(\mathbf{L}_p, \mathbf{L}_q)$$

$$\delta(\mathbf{L}_p, \mathbf{L}_q) = \begin{cases} 1 & \text{pokud } \mathbf{L}_p \neq \mathbf{L}_q \\ 0 & \text{jinak} \end{cases}$$



Možný návrh kriteriální funkce

$$C(\mathbf{L}) = R(\mathbf{L}) + B(\mathbf{L})$$

$R(\mathbf{L})$ je míra vzdálenosti každého pixelu k barevnému prototypu dané třídy $c(k)$

$$R(\mathbf{L}) = \sum_{[m,n] \in Image} \underbrace{(f(m, n) - c(k))^2}_{D_c}$$

$B(\mathbf{L})$ je ohodnocení sousedství třídy i a j

$$B(\mathbf{L}) = \sum S_c(i, j)$$

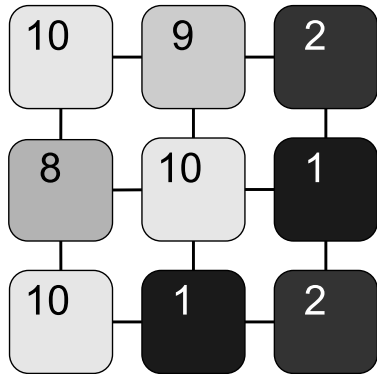
$$S_c(i, j) = \begin{cases} 0, & i = j \\ \gamma, & i \neq j \end{cases} \quad S_c = \begin{bmatrix} 0 & \gamma \\ \gamma & 0 \end{bmatrix}$$



Matice D_c



Ukázky výpočtu kritéria



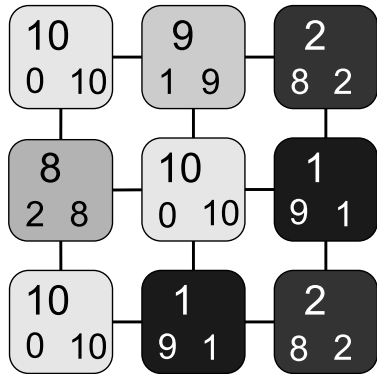
$$\lambda = 1$$

$$S_c = \begin{bmatrix} 0 & 1 \\ 1 & 0 \end{bmatrix}$$

$$\text{size}(D_c) = 3 \times 3 \times 2$$



Ukázky výpočtu kritéria



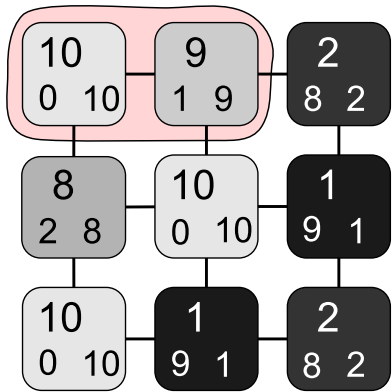
$$\lambda = 1$$

$$S_c = \begin{bmatrix} 0 & 1 \\ 1 & 0 \end{bmatrix}$$

$$\text{size}(D_c) = 3 \times 3 \times 2$$



Ukázky výpočtu kritéria



$$E(A) = \lambda R(A) + B(A)$$

$$\lambda = 1, S_c = \begin{bmatrix} 0 & 1 \\ 1 & 0 \end{bmatrix}$$

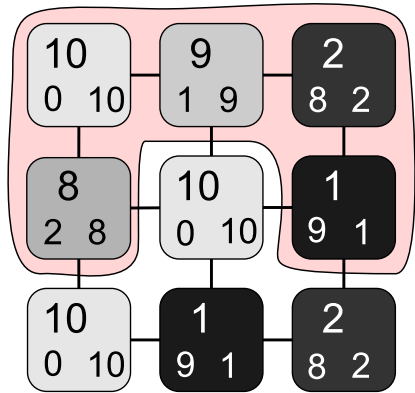
$$R(A) = \sum \begin{bmatrix} 0 & 1 & 2 \\ 8 & 10 & 1 \\ 10 & 1 & 2 \end{bmatrix} = 35$$

$$B(A) = 3$$

$$E(A) = 35 + 3 = 38$$



Ukázky výpočtu kritéria



$$E(A) = \lambda R(A) + B(A)$$

$$\lambda = 1, S_c = \begin{bmatrix} 0 & 1 \\ 1 & 0 \end{bmatrix}$$

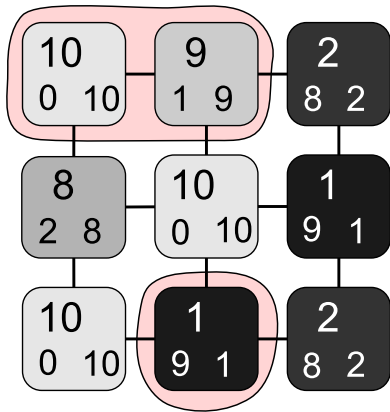
$$R(A) = \sum \begin{bmatrix} 0 & 1 & 8 \\ 2 & 10 & 9 \\ 10 & 1 & 2 \end{bmatrix} = 43$$

$$B(A) = 5$$

$$E(A) = 43 + 5 = 48$$



Ukázky výpočtu kritéria



$$E(A) = \lambda R(A) + B(A)$$

$$\lambda = 1, S_c = \begin{bmatrix} 0 & 1 \\ 1 & 0 \end{bmatrix}$$

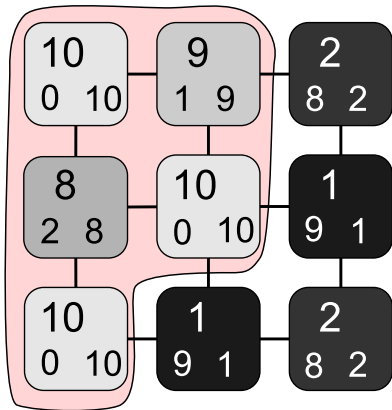
$$R(A) = \sum \begin{bmatrix} 0 & 1 & 2 \\ 8 & 10 & 1 \\ 10 & 9 & 2 \end{bmatrix} = 43$$

$$B(A) = 6$$

$$E(A) = 43 + 6 = 49$$



Ukázky výpočtu kritéria



$$E(A) = \lambda R(A) + B(A)$$

$$\lambda = 1, S_c = \begin{bmatrix} 0 & 1 \\ 1 & 0 \end{bmatrix}$$

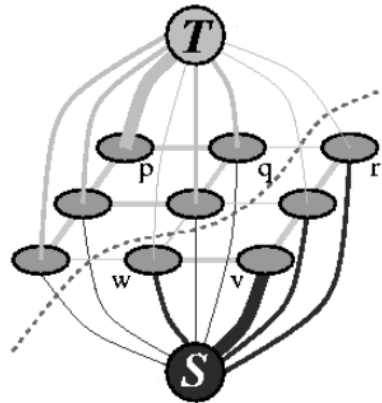
$$R(A) = \sum \begin{bmatrix} 0 & 1 & 2 \\ 2 & 0 & 1 \\ 0 & 1 & 2 \end{bmatrix} = 8$$

$$B(A) = 4$$

$$E(A) = 8 + 4 = 12$$



Konstrukce grafu



T-linky spojují (p, t) a určují oblastní část kritéria $R(\mathbf{L})$

N-linky spojují (p, q) a určují hranovou část kritéria $B(\mathbf{L})$



Interaktivita

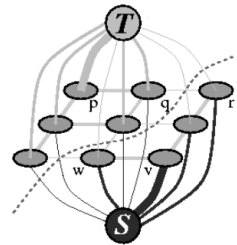
- ▶ Neinteraktivní podoba
 - ▶ Pixely o kterých nic nevíme
- ▶ Interaktivní podoba
 - ▶ Pixely o kterých nic nevíme
 - ▶ Pixely popředí
 - ▶ Pixely pozadí



Volba vah v grafu

$$K = 1 + \max_{p \in I} \sum_{q:(p,q) \in N} B_{(p,q)}$$

Hrana	Váha
(p, q)	$B_{(p,q)}$ pro $(p, q) \in N$
(s, p)	$\lambda R_p(bgd)$ pro $p \in I, P \notin (O \cup B)$
	K pro $p \in O$
	0 pro $p \in B$
(p, t)	$\lambda R_p(obj)$ pro $p \in I, P \notin (O \cup B)$
	0 pro $p \in O$
	K pro $p \in B$



Tabulka: Váhy jednotlivých typů hran při konstrukci grafu pro segmentaci pomocí Graph-Cut

Hledání minimálního řezu - Graph Cut

- ▶ Grow stage
- ▶ Augment stage
- ▶ Adopt stage

Details in: Yuri Boykov and Vladimir Kolmogorov: "An Experimental Comparison of Min-Cut/Max-Flow Algorithms for Energy Minimization in Vision"

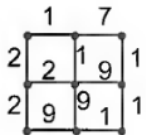
<http://www.csd.uwo.ca/~yuri/Papers/pami04.pdf>



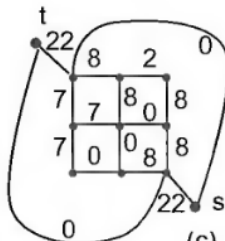
Hledání minimálního řezu - alternativa

10	9	2
8	10	1
10	1	2

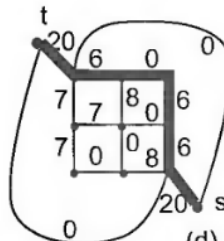
(a)



(b)



(c)



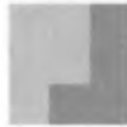
(d)



(e)



(f)



(g)

Pravděpodobnostní model

$$R_p(obj) = -\ln P(I_p|O)$$

$$R_p(bgd) = -\ln P(I_p|B)$$

$$B(p, q) = \exp \left(-\frac{(I_p - I_q)^2}{2\sigma^2} \right) \frac{1}{\|p, q\|}$$

Kde $P(I|O)$ a $P(I|B)$ reprezentují míru věrohodnosti, že pixel náleží objektu, nebo pozadí. Výraz $\|p, q\|$ znamená vzdálenost mezi pixely a σ^2 představuje očekávaný rozptyl jasových hodnot.



Segmentace pomocí Graph-Cut v Matlabu

```
img = [10 9 2  
8 10 1  
10 1 2];  
lambda = 1;  
Dc(:,:,1) = lambda * (img);  
Dc(:,:,2) = lambda * (10 - img);  
Sc = [0 1  
1 0];  
[gch] = GraphCut('open', Dc, Sc);  
[gch L] = GraphCut('expand', gch);  
[gch] = GraphCut('close', gch);
```



Výpočet hodnoty kritéria v Matlabu

```
img = [10 9 2  
8 10 1  
10 1 2];  
lambda = 1;  
Dc(:,:,1) = lambda * (img);  
Dc(:,:,2) = lambda * (10 - img);  
Sc = [0 1  
1 0];  
labels = [1 1 0  
0 0 0  
0 0 0];  
[gch] = GraphCut('open', Dc, Sc);  
[gch] = GraphCut('set', gch, labels)  
[gch se de] = GraphCut('energy', gch);  
[gch] = GraphCut('close', gch);
```



Úlohy řesené pomocí Graph-Cut

- ▶ Segmentace
- ▶ Restaurace
- ▶ Syntéza
- ▶ Stereovidění



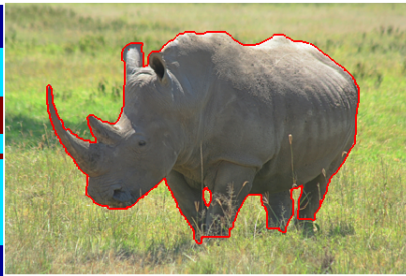
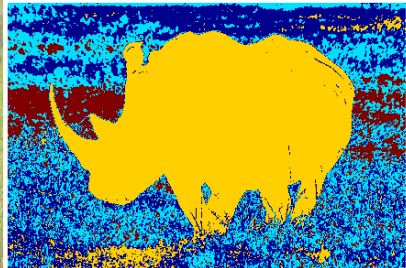
Segmentace - Jednoduchá



DEPARTMENT OF
CYBERNETICS



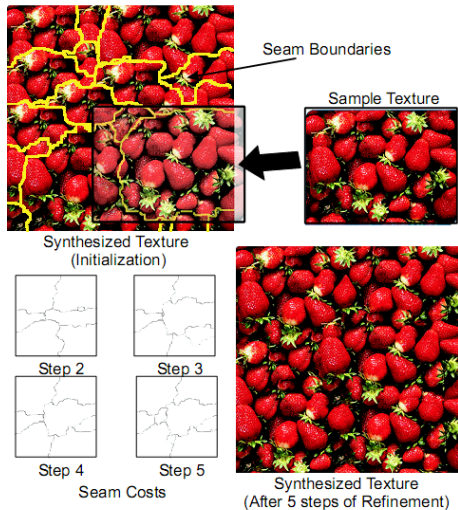
Segmentace



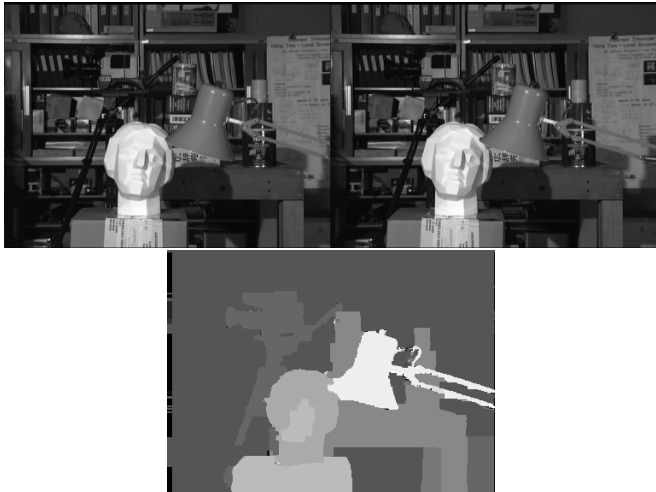
Restaurace



Syntéza



Stereovidění



Pro detailey viz [?]

Interaktivní segmentace

- ▶ Interaktivní segmentace tumoru
- ▶ Interaktivní segmentace jater
- ▶ Interaktivní 3D segmentace

